

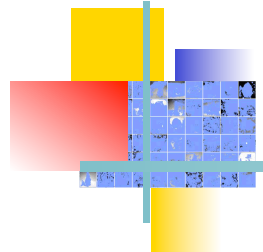
FISICA

*Frequent Item Set
and Independent Component Analysis*

A. Cornuéjols, J. Mary & M. Sebag ([LRI](#))

S. Jouteau, Ph. Tarroux & J-S. Liénard ([LIMSI](#))

[CNRS - Université de Paris-Sud, Orsay](#)



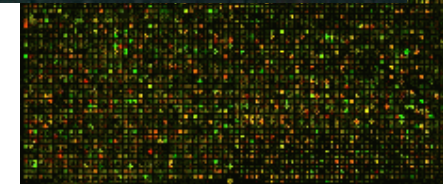
High dimensionality data

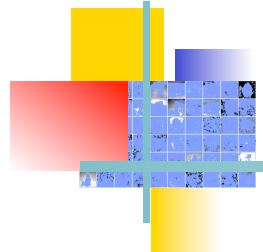
- **Very high number of descriptors**

(NB : One of the 10 problems for the
Society, 2000))

- **Examples :**

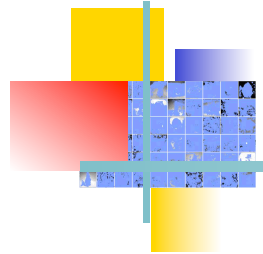
- Microarray
 - E.g. 6400 genes,
 - ➔ tumor or sound
- Images
 - E.g. 256*256*(256 gray levels)
 - ➔ Identification of patterns in the image





High dimensionality data

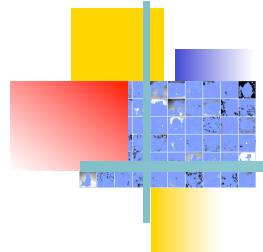
- ➡ Most data points are concentrated on a small non-linear subspace of the input space
- ➡ There must exist an efficient coding scheme
 - ➡ That is able to describe the data
 - ➡ And is economical or sparse



Sparse coding

- Hypothesis :

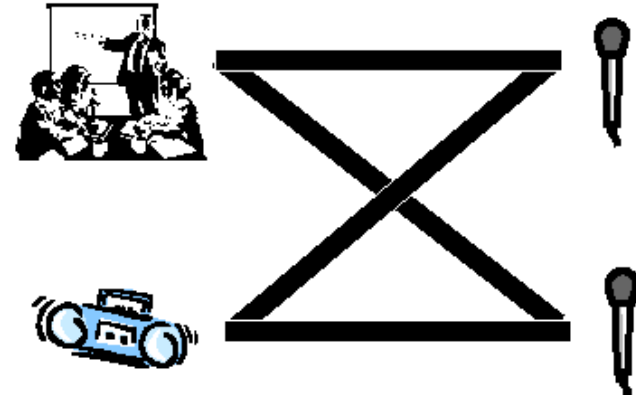
Each pattern is represented by a small subset of basis components in a large dictionary



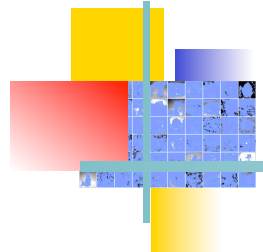
Independent Component Analysis

(Introduced in 1984. Developed in the 90s)

Hypothesis: *Data can be represented by a linear combination of basis components*



- **Limits :**
 - Linearity
 - Not feasible for high number of dimensions



Exemple: ICA for scene analysis

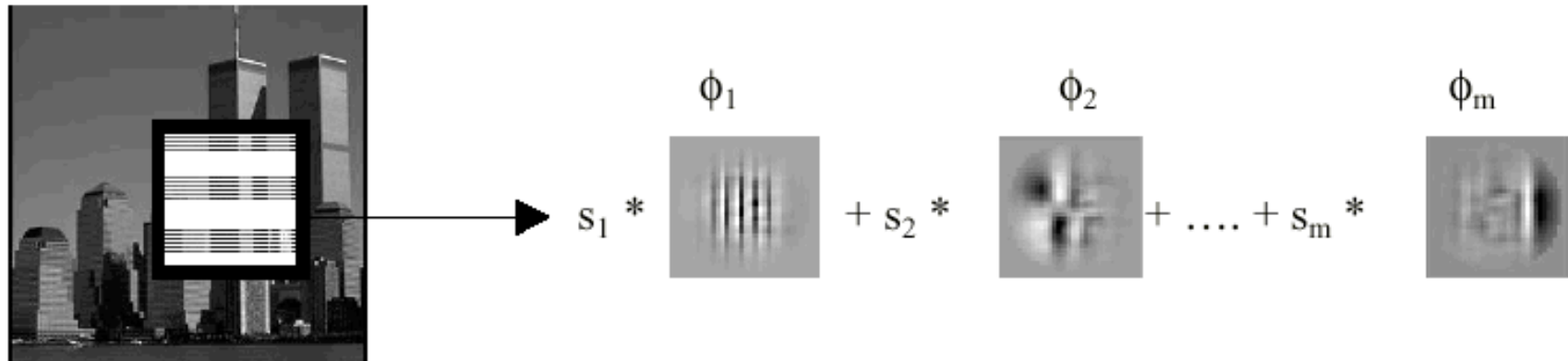
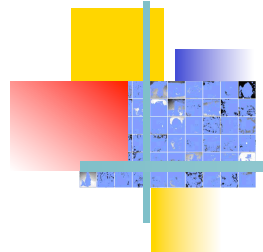


Figure 1 : Illustration de la décomposition d'une imagette dans la base Φ .

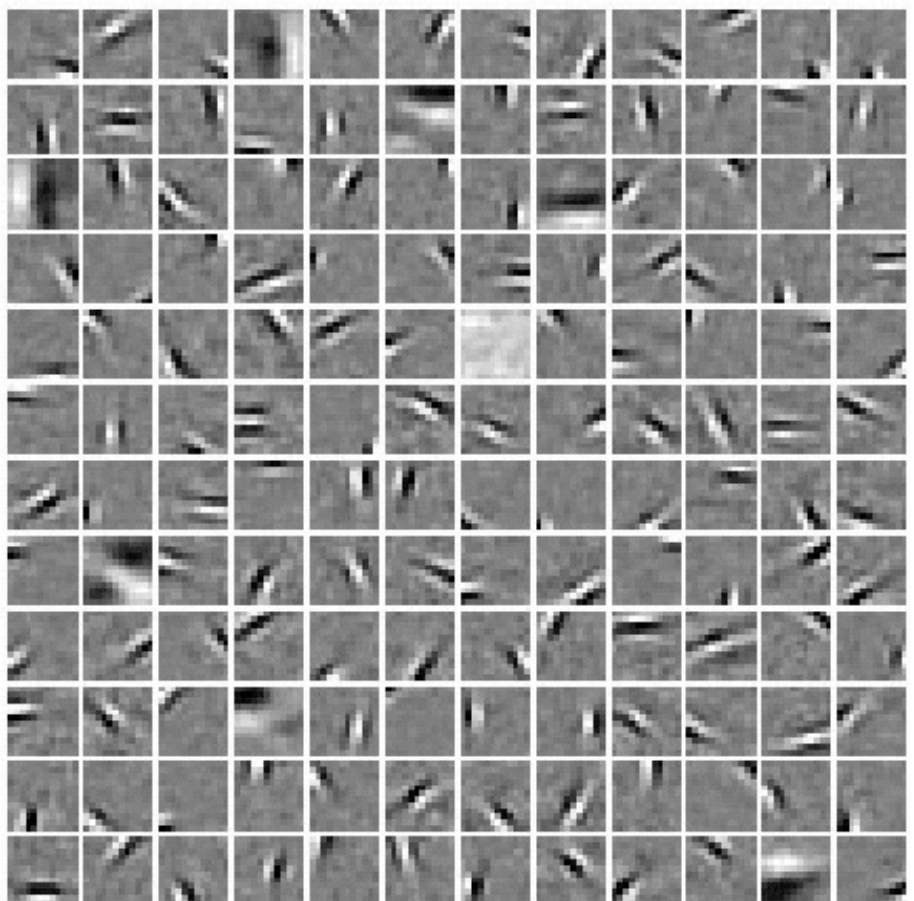
- Scenes are decomposed in image windows ...
- ... coded by linear superposition of latent forms

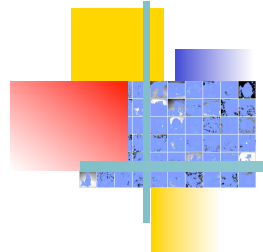


12 x 12 latent forms

[Olshausen & Field, 1996, ...]

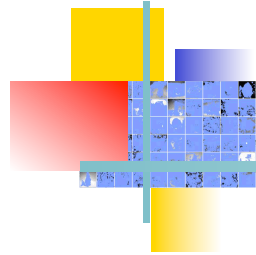
- **Most forms are**
 - Localised
 - Oriented
 - With various frequencies





- *Direct search of a sparse code ?*

- Using Frequent Item sets
- On whole patterns (e.g. whole images)



Frequent Item Sets

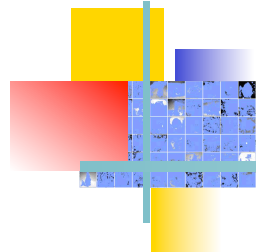
- **Problem**

- Given a data base of tuples
- Identify subsets of items that are frequently found together (Frequent ItemSets)

- **In general :**

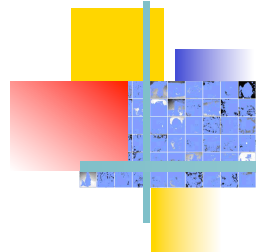
- A lot of Frequent Item Sets
- But very few that are occur together

➡ **Sparse coding**



Constraints on the FIS

- **Representativity**
 - Each pattern corresponds to a **minimal** number of FIS
- **Sparsity**
 - Each pattern corresponds to a **limited** number of FIS
- **Orthogonality**
 - Each pair of FIS covers **few patterns in common**
- + **Semantical constraints**
 - E.g. : ***compact*** FIS (e.g. areas in the images)
 - E.g. : ***connected*** FIS (e.g. contours)
 - ...



Experiments

- The COREL image base
- **12 different classes**
- **1080 images** (90 images / class)
- $128 \times 128 = 16384$ with 128 grey levels
- or : $64 \times 64 = 4096$ with 32 or 16 grey levels

540 images are used to identify **1000 FIS**

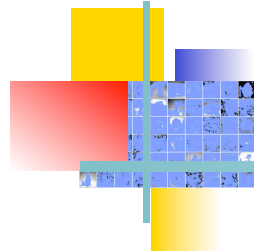
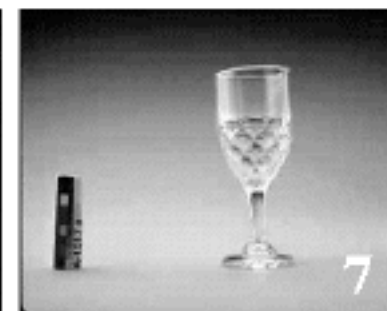
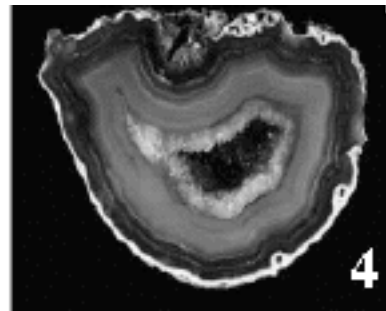
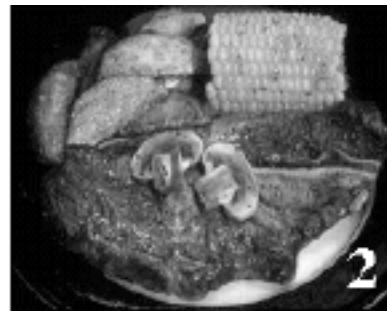
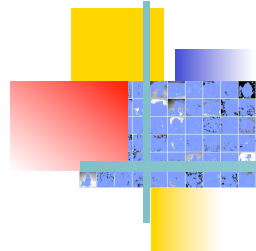


Image base





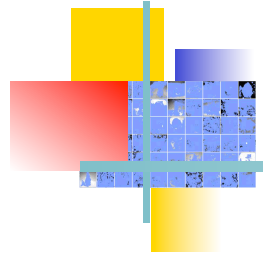
Finding

- Direct application of APRIORI is impossible
- There are too many FIS

Nb. elts / FIS	1	2	3	4	5	6
Nb FIS	$2 \cdot 10^3$	$110 \cdot 10^3$	$3,8 \cdot 10^6$	$80 \cdot 10^6$	$1,15 \cdot 10^9$	$12,5 \cdot 10^9$

For 32 x 32 images with 64 grey levels

➡ *Adapt the algorithm with a stochastic search strategy*



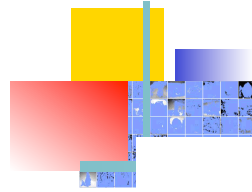
Experiments

■ Semantic constraints (choice of pixels to accrete)

- *Min* : the less present in the existing FIS
- *Connexe* : Connected to the pixels of the calculated FIS
- *Curve* : forming curves

■ Parameters

- *Image size* : 64 x 64 x 16 (grey levels)
- *Coverage rate* : 1, 2, 5, 10 %



Sparse coding

Nb of FIS / images

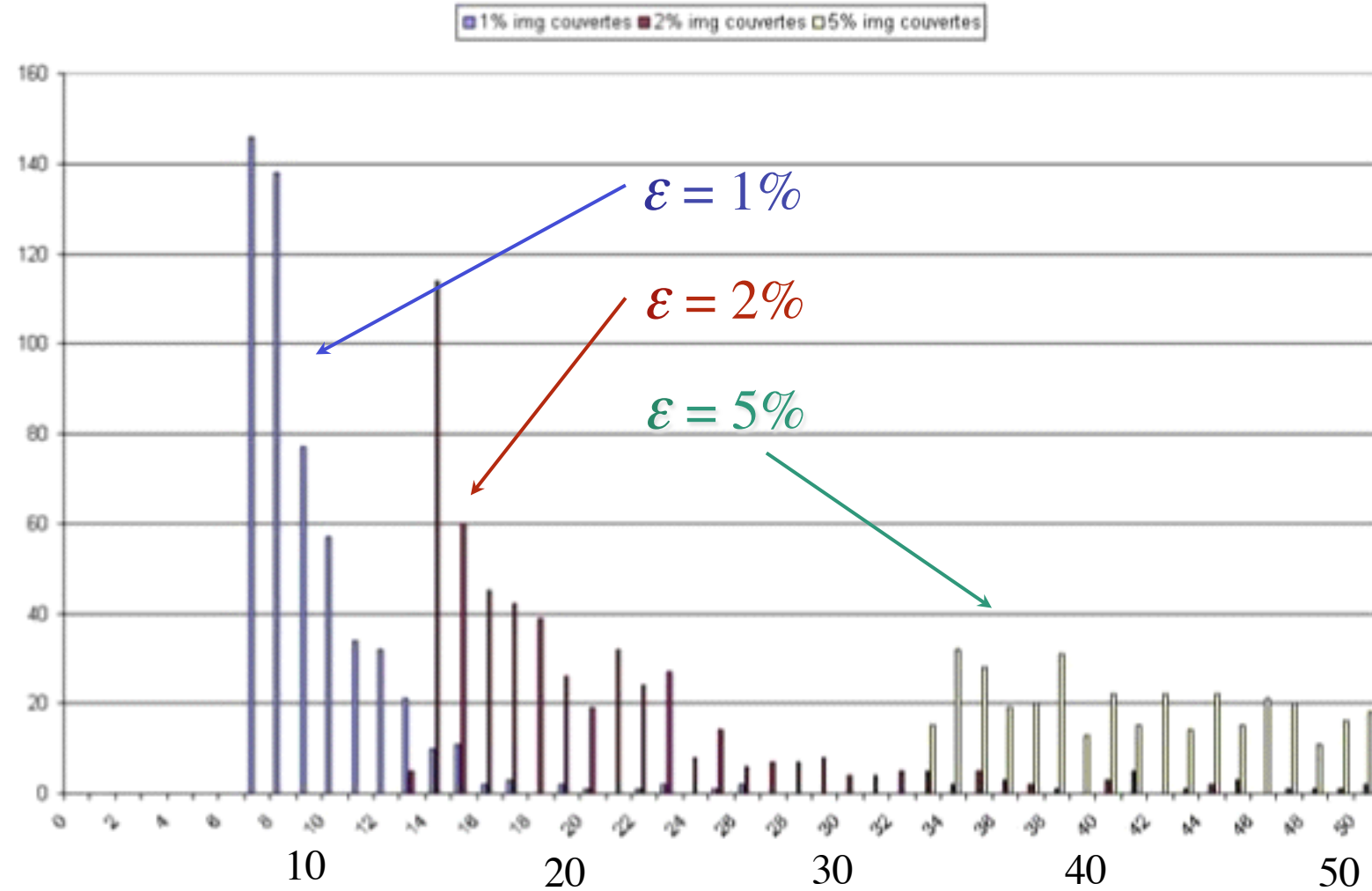
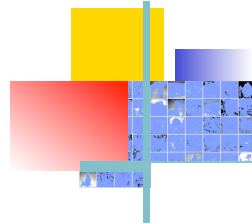


FIG. 6.22 – Histogramme représentant le nombre d'images (en ordonnée) activant N FIS (en abscisse). Ces fonctions ont été calculées à partir d'images de taille 64x64 en 16 niveaux de gris. La troisième méthode de choix des pixels (pixels se touchant) est utilisée. Un bon histogramme a le moins de valeurs possibles (très "groupé".)



Sparse coding

Nb of FIS / images

■ 1% img couvertes ■ 2% img couvertes □ 5% img couvertes

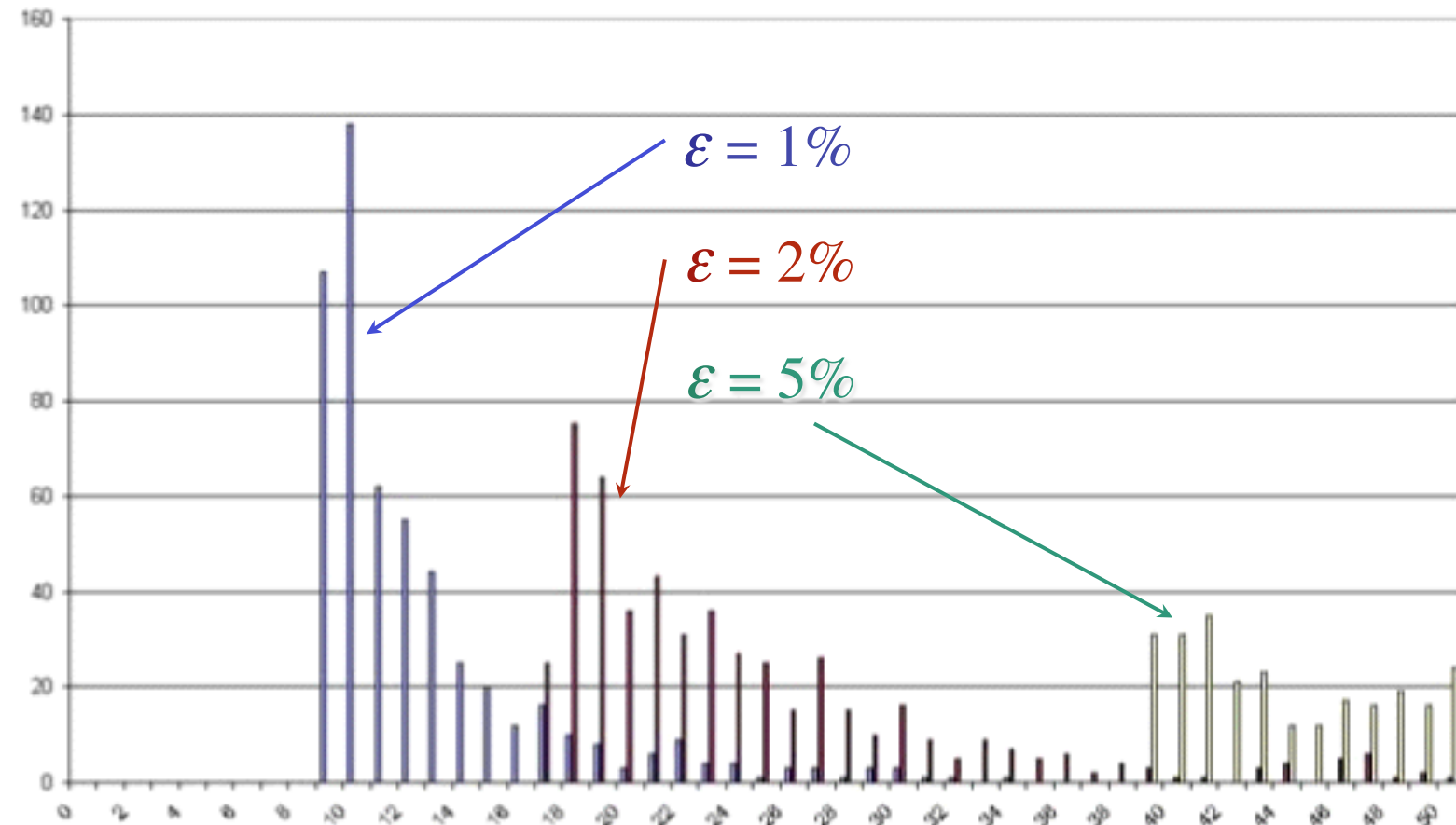
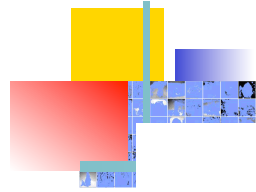


FIG. 6.23 – Histogramme représentant le nombre d'images (en ordonnée) activant N FIS (en abscisse). Ces fonctions ont été calculées à partir d'images de taille 64x64 en 16 niveaux de gris. La quatrième méthode de choix des pixels (pixels formant une ligne) est utilisée. Un bon histogramme a le moins de valeurs possibles (très "groupé").



Orthogonality

Nb images / pair of FIS

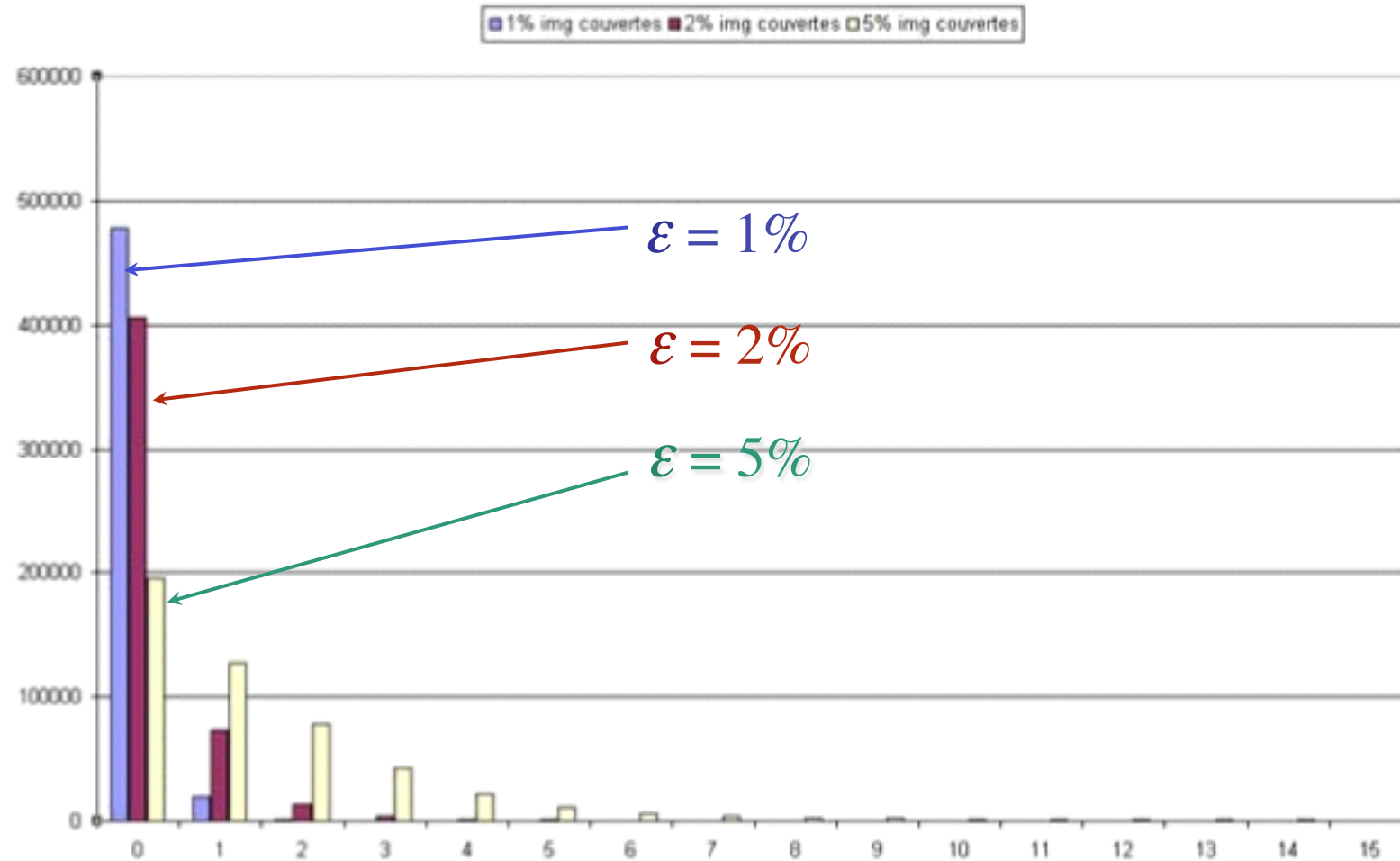
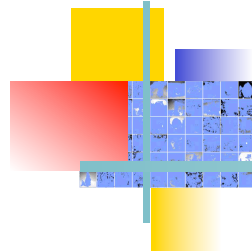
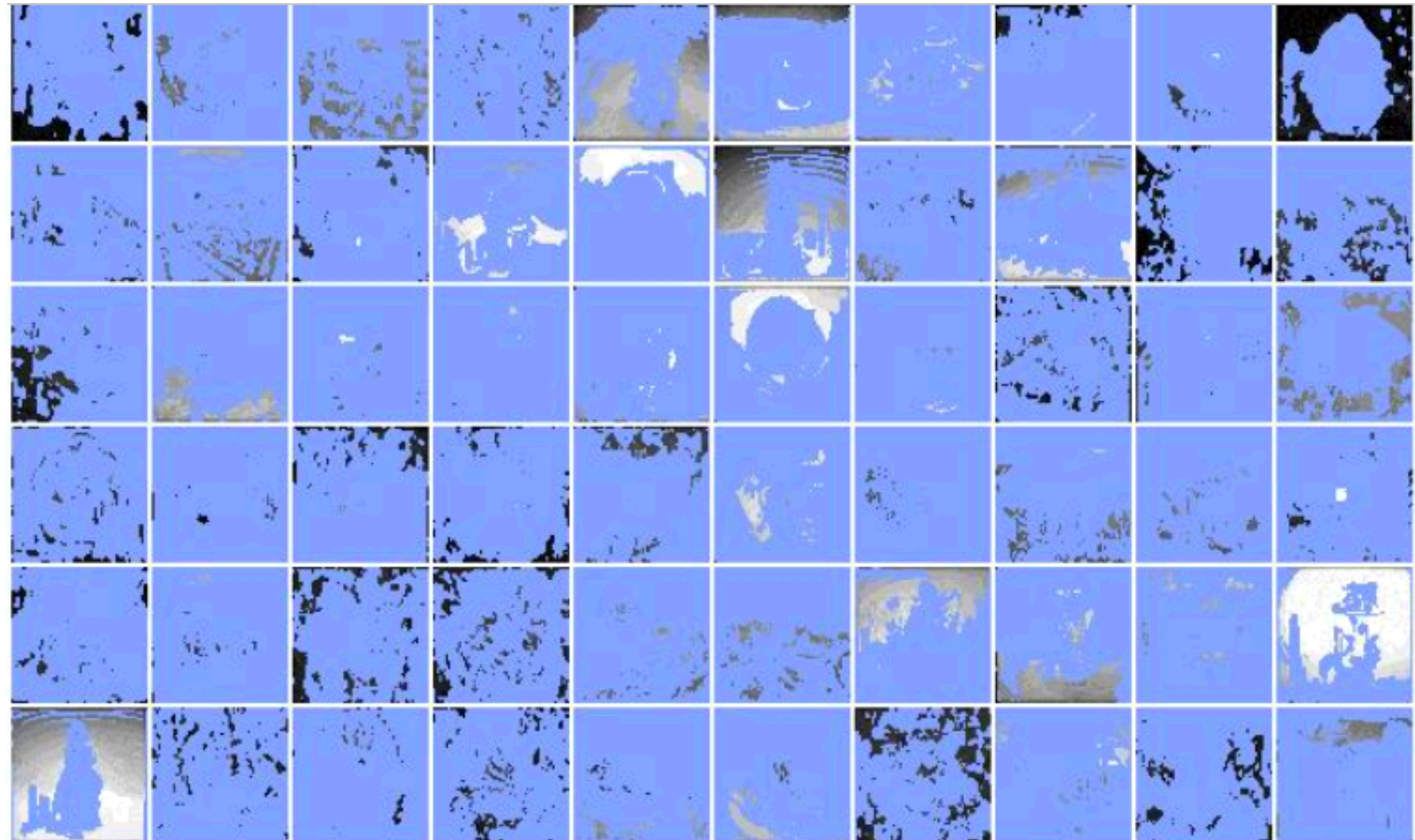
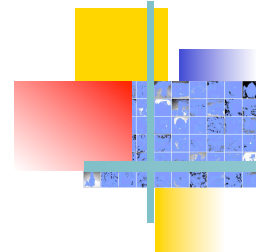


FIG. 6.18 – Histogramme représentant le nombre de couples de fonctions (en ordonnée) ayant N images en commun (en abscisse). Ces fonctions ont été calculées à partir d'images de taille 64x64 en 16 niveaux de gris. La troisième méthode de choix des pixels (pixels se touchant) est utilisée. Un bon histogramme a le moins possible de valeurs élevées.

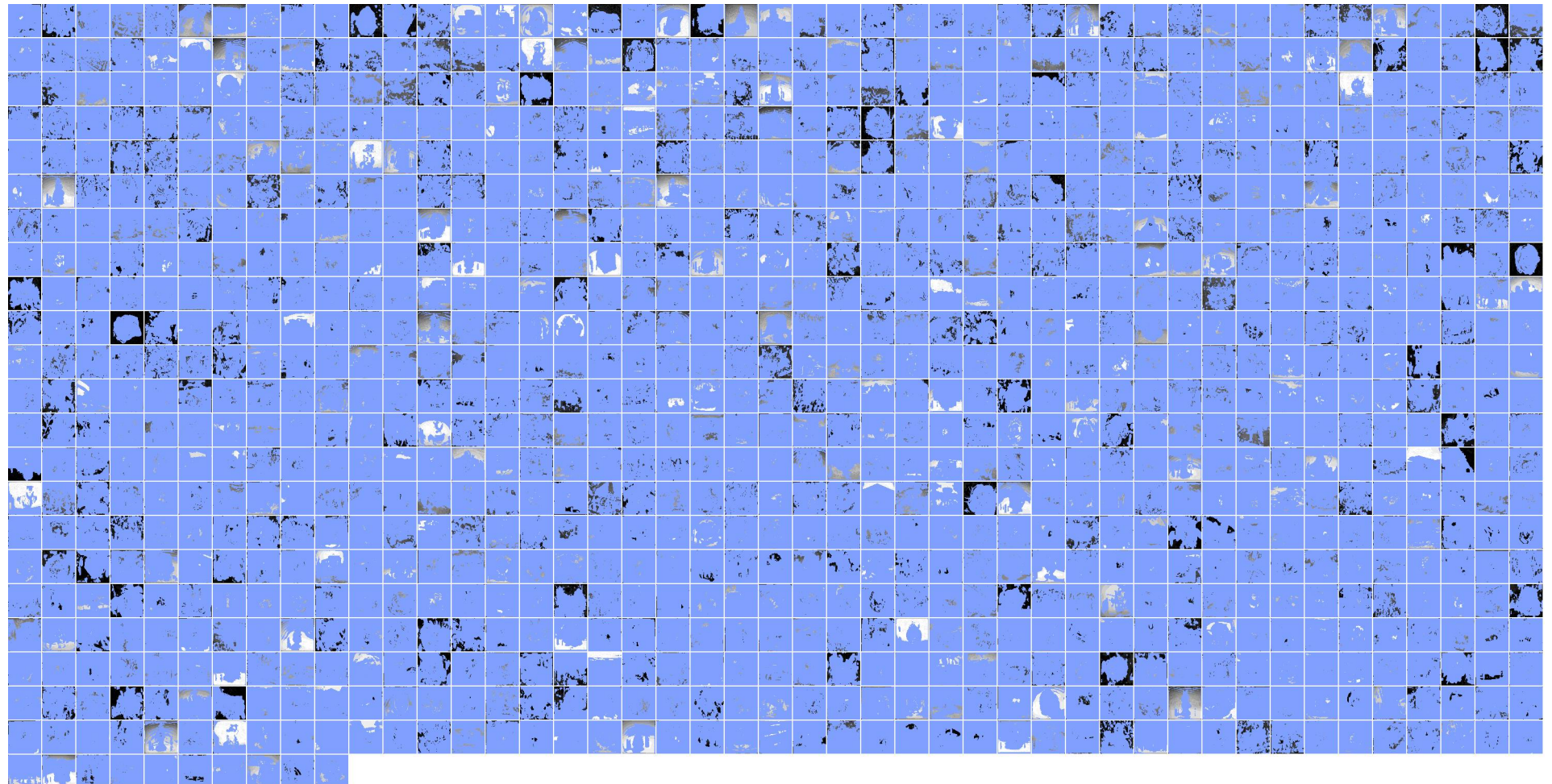


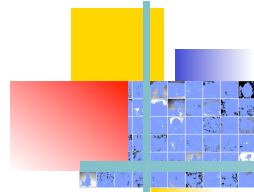
FIS : min_1%



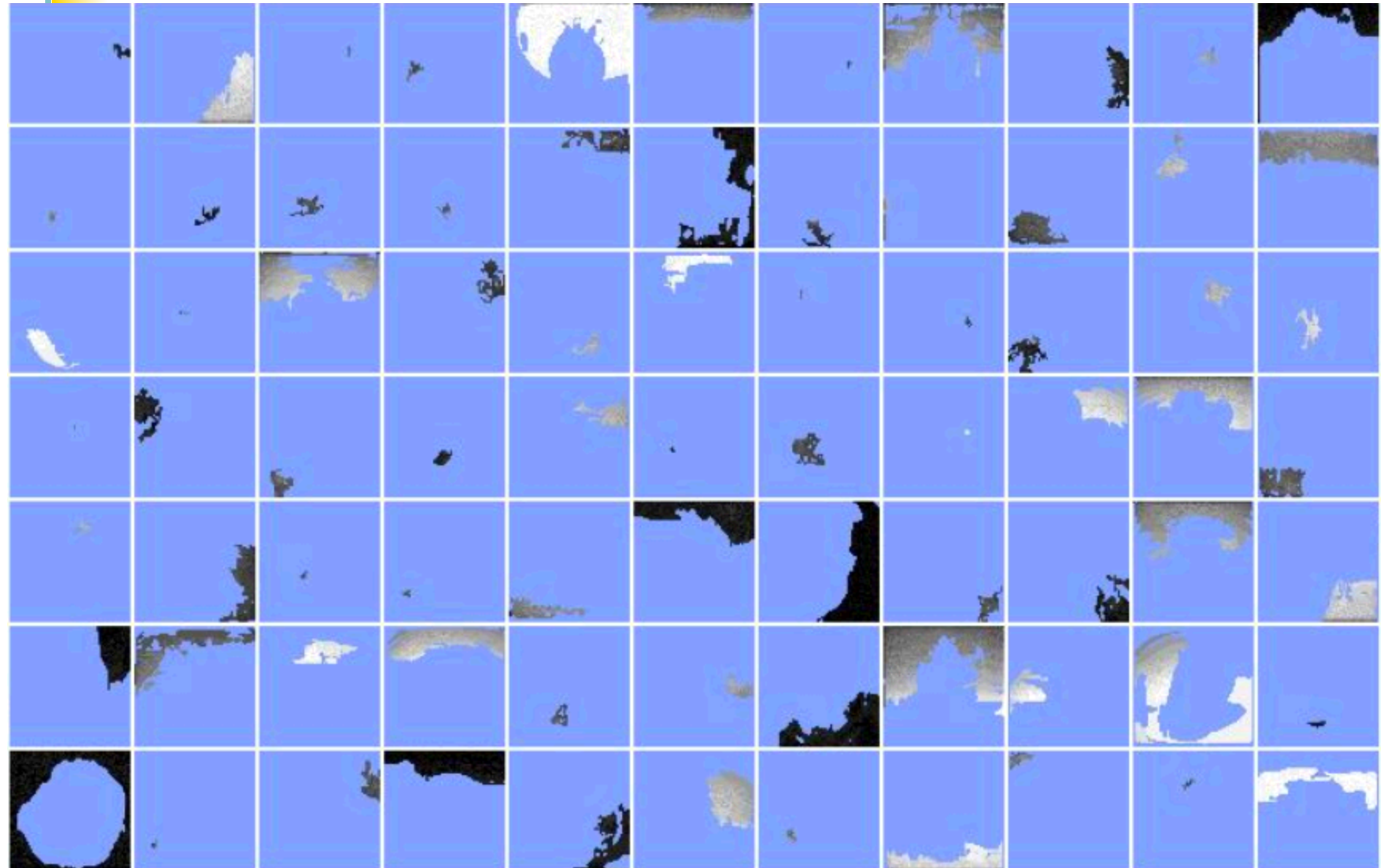


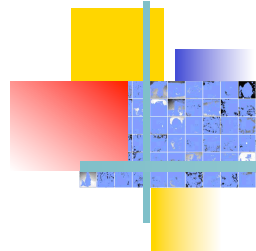
FIS : min_1%



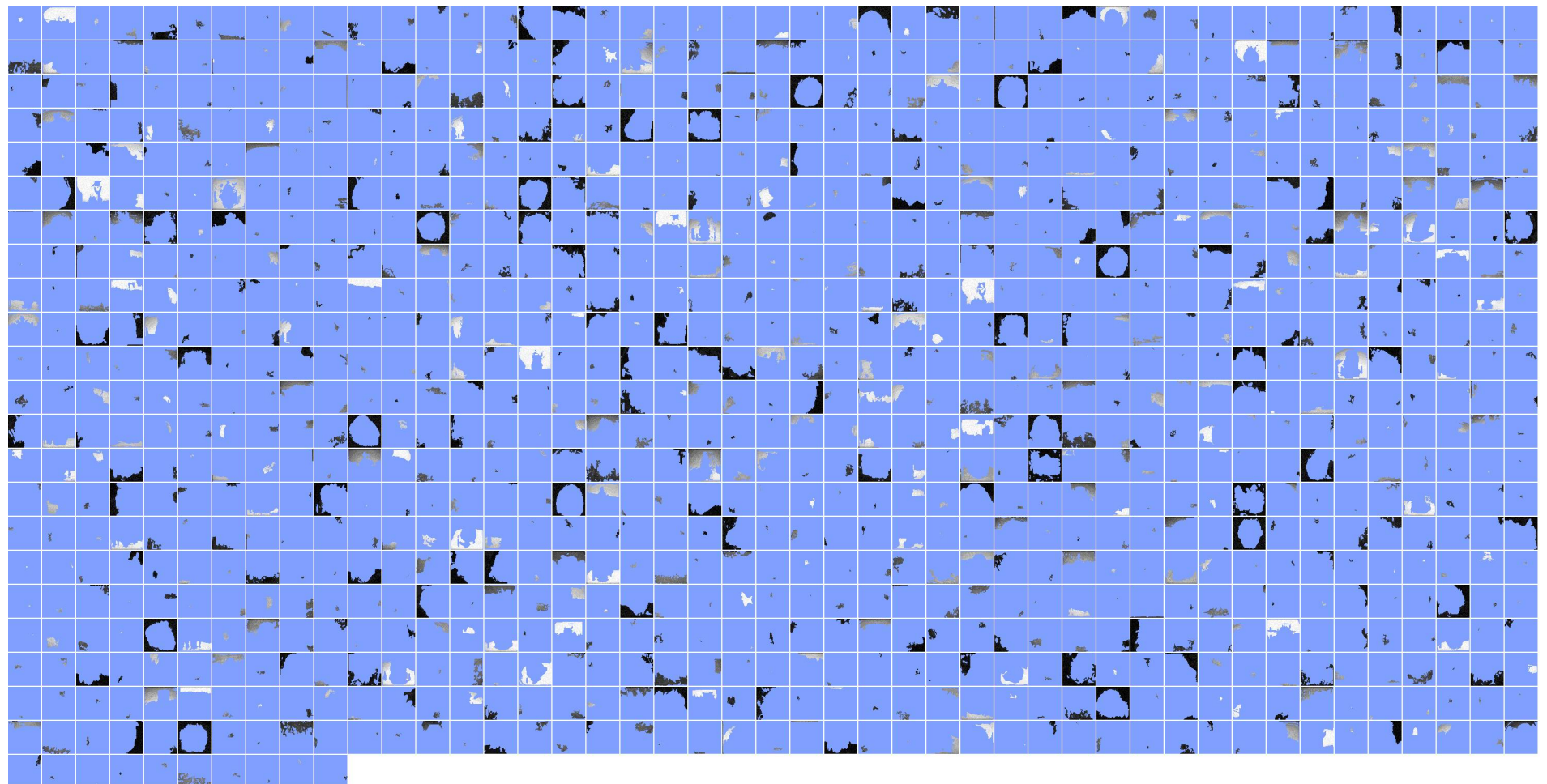


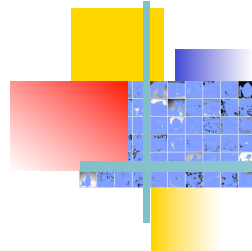
FIS : connected_1%



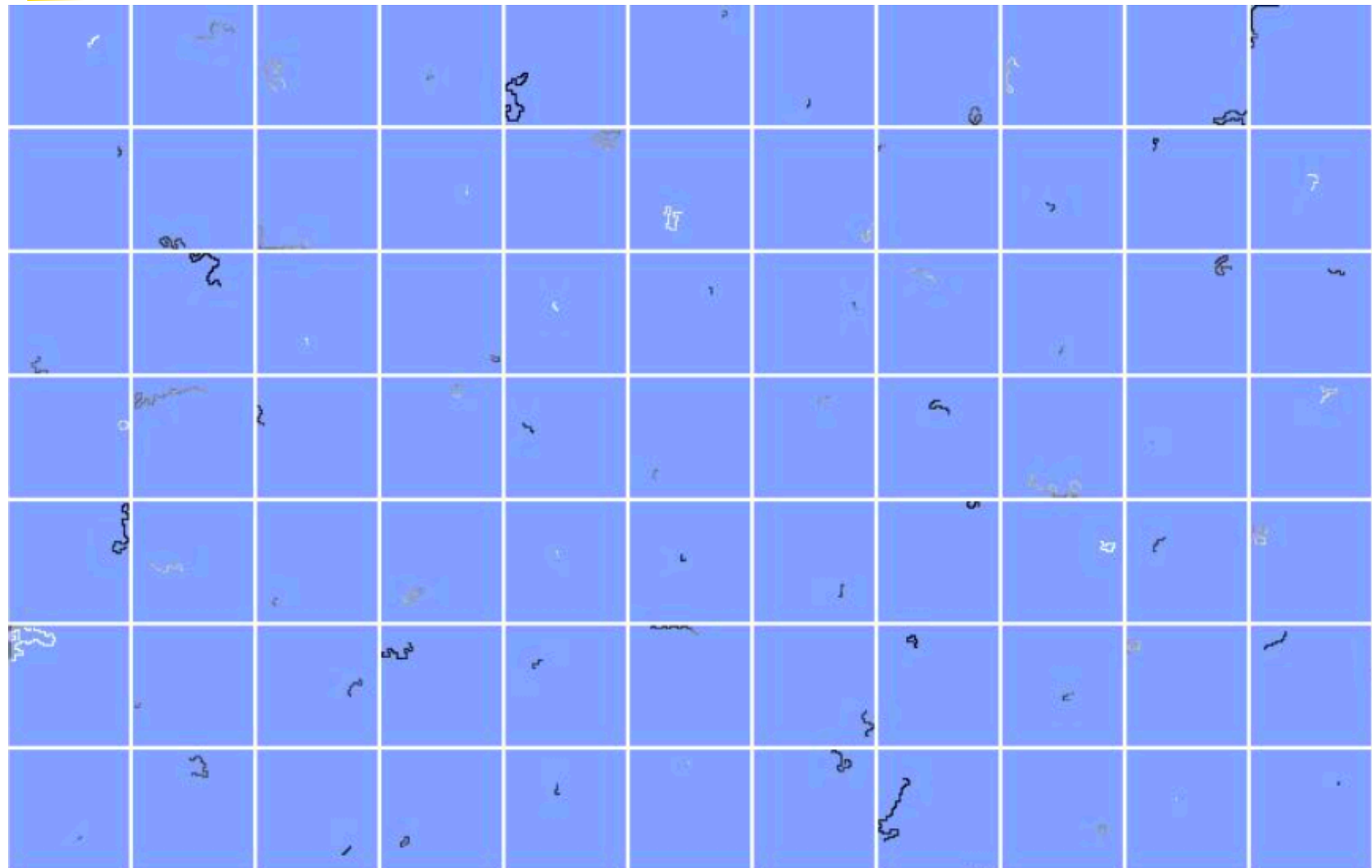


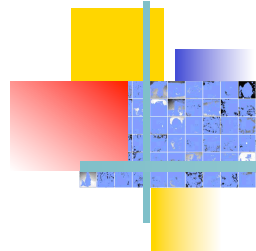
FIS : connected_1%



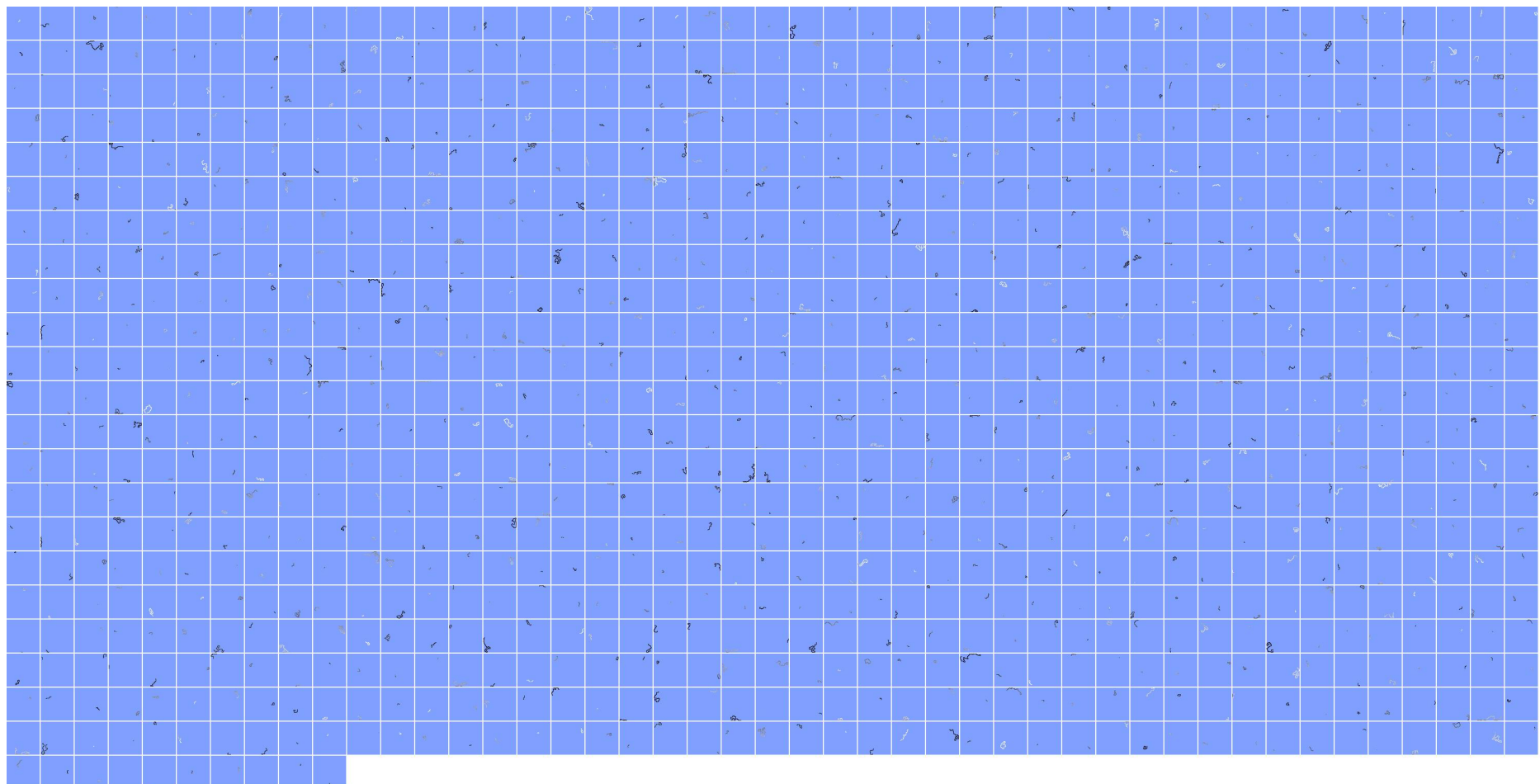


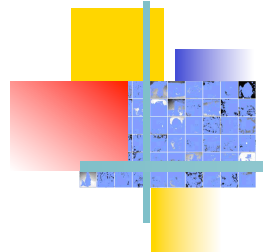
FIS : curve_1%





FIS : curve_1%

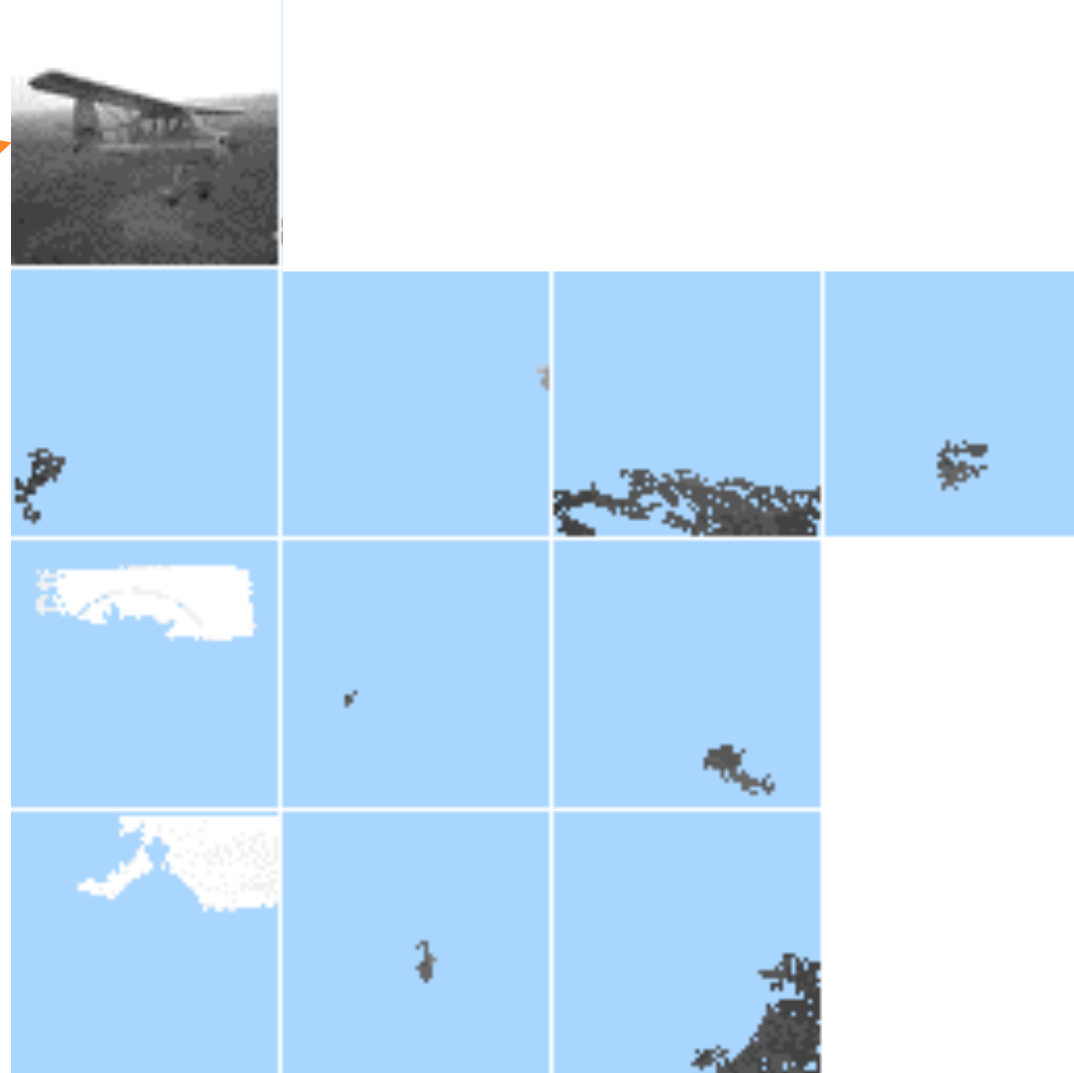


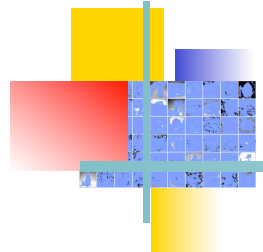


Code for an image

Image

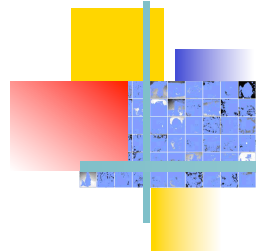
The FIS
taken
in the
dictionary





Analysis

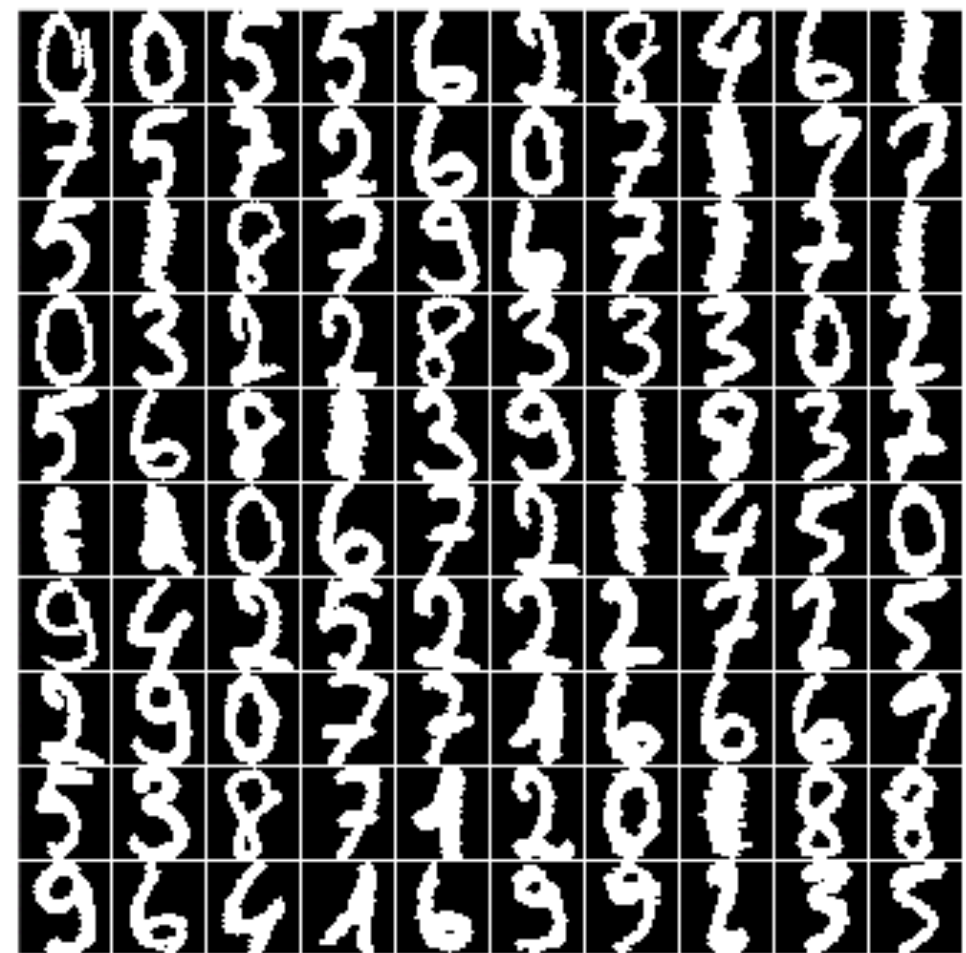
- Quite difficult to interpret !!
- No contours, even with constraints to this effect
- Unfortunately no possible comparison with ICA since ICA is impracticable

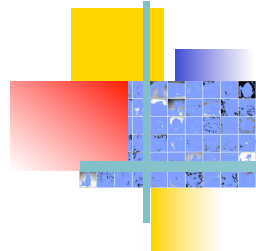


Hand-written digits

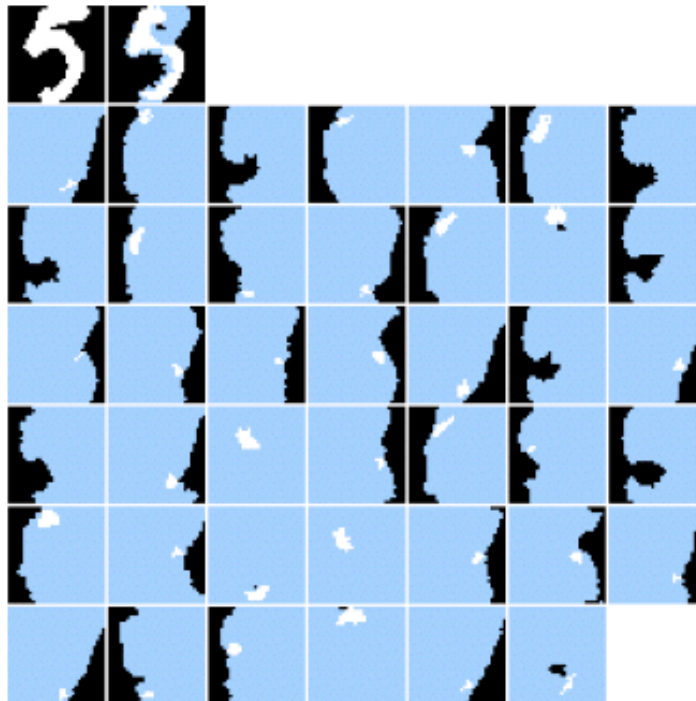
- 3000 examples
- B/W

url : [http://
ftp.ics.uci.edu/pub/
machine-learning-
databases/optdigits/](http://ftp.ics.uci.edu/pub/machine-learning-databases/optdigits/)





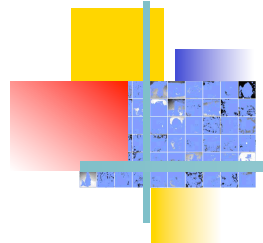
Example codes for the 5



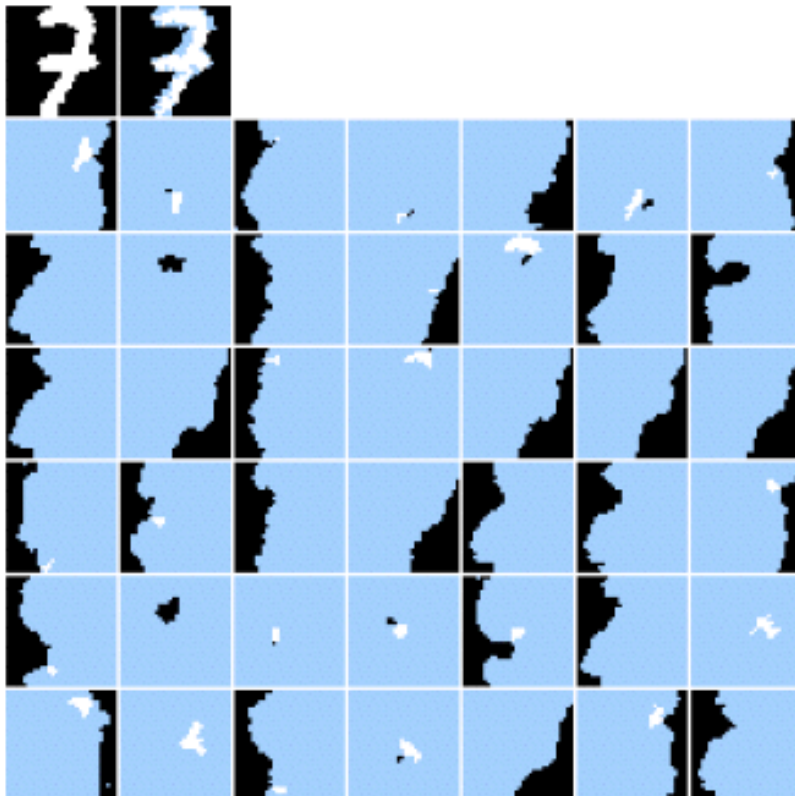
FIS of coverage 5%
(41 / 1000)



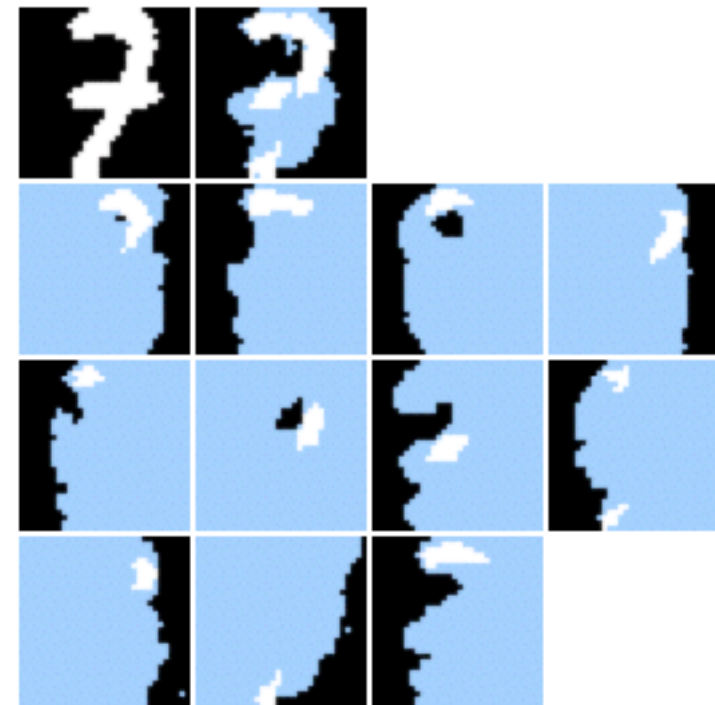
FIS of coverage 1%
(10 / 1000)



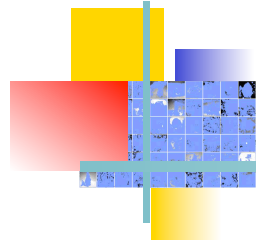
Example codes for the 7



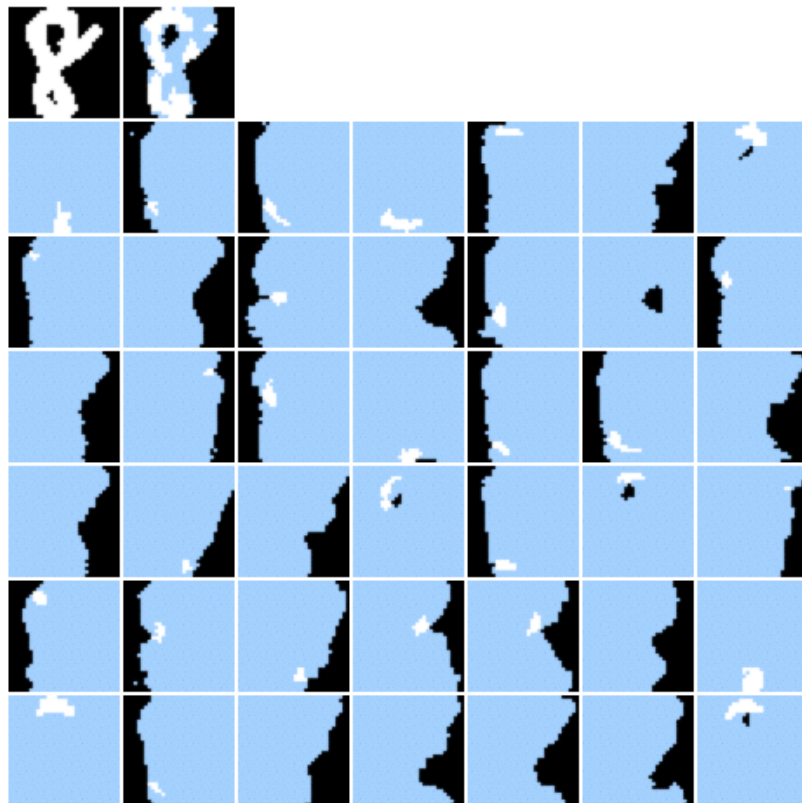
FIS of coverage 5%
(42 / 1000)



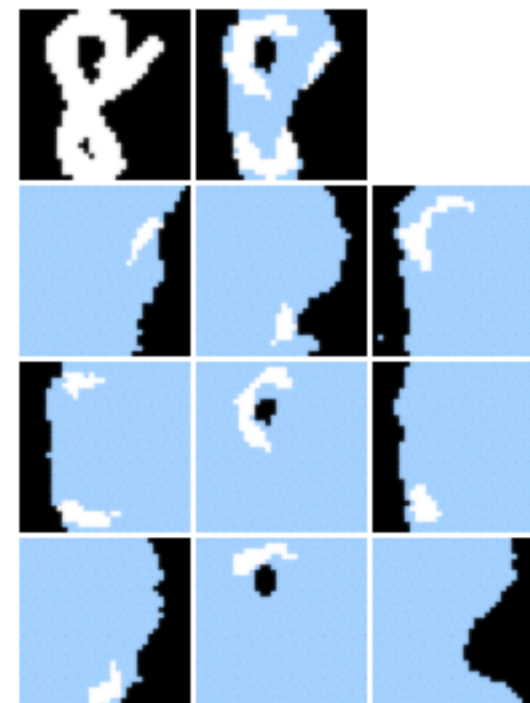
FIS of coverage 1%
(11 / 1000)



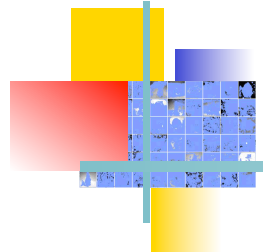
Example codes for the 8



FIS of coverage 5%
(42 / 1000)



FIS of coverage 1%
(9 / 1000)



Classification performance: protocole

- Learning **1000 FIS** on **540** training images

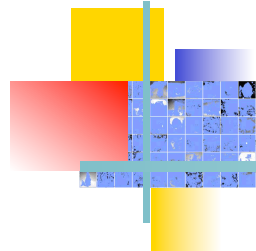
- Parameters :

- Image size (32 x 32, 64 x 64 ou 128 x 128)
- Grey levels (16, 32 ou 64)
- Coverage rates (1%, 2%, 5% ou 10%)

► Test sur les **540** images restantes (répété 10 fois)

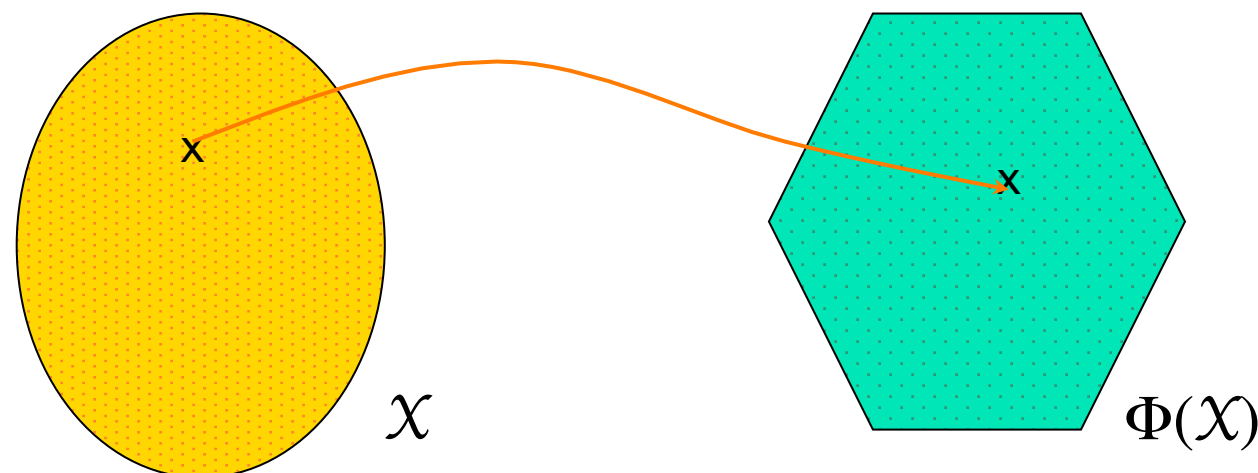
- NB : all results available on:

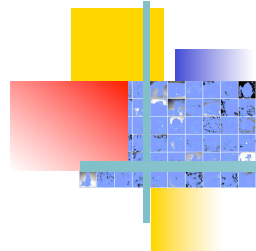
<http://www.eleves.iie.cnam.fr/jouteau>



Classification : method

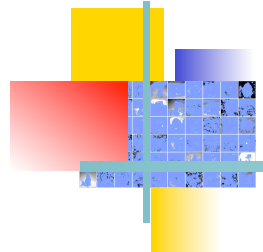
- Each *example* (in \mathcal{X}) is *described by its FIS* (in $\Phi(\mathcal{X})$)
- A new example is **labeled by a k -NN method** (in the FIS space $\Phi(\mathcal{X})$)
 - 1-ppv
 - or k -ppv weighted according to the distance





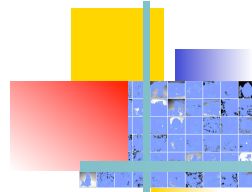
Performances ($\varepsilon = 5\%$)

	Av	Pl	Ut	Mi	Ch	Po	Ve	Pa	Por	Fi	Vo	Fl
Avi	67%	2%	-	-	2%	2%	10%	10%	4%	2%	-	-
Pla	-	21%	-	2%	7%	19%	10%	12%	5%	-	19%	5%
Uta	17%	-	33%	-	7%	-	-	3%	10%	10%	13%	7%
Min	-	-	-	100%	-	-	-	-	-	-	-	-
Chi	26%	5%	7%	-	14%	9%	12%	9%	5%	2%	12%	-
Poi	5%	13%	3%	8%	-	13%	18%	21%	-	3%	10%	8%
Ver	2%	2%	-	-	10%	7%	43%	-	21%	5%	7%	2%
Pap	6%	6%	-	-	2%	14%	14%	35%	6%	-	12%	4%
Por	2%	2%	-	-	-	2%	-	12%	70%	10%	-	2%
Fig	-	-	-	-	-	-	6%	-	24%	70%	-	-
Voi	21%	6%	-	-	4%	4%	8%	4%	4%	29%	19%	-
Fle	2%	9%	-	-	-	9%	21%	14%	-	-	16%	28%



With a RBF neural network

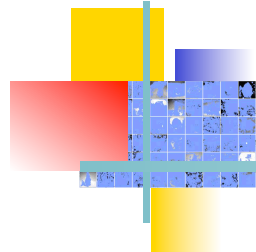
	Av	Pl	Ut	Mi	Ch	Po	Ve	Pa	Por	Fi	Vo	Fl	Rj
Avi	50.7	-	3.3	-	-	-	-	-	-	-	1.3	-	44.7
Pla	-	-	-	6.3	0.8	-	-	-	-	-	-	1.6	91.3
Uta	1.1	-	23.3	-	3.3	1.1	-	-	2.2	-	-	-	68.9
Min	0.8	-	0.8	28.8	-	2.3	-	0.8	-	-	-	3.0	63.6
Chi	-	-	4.0	0.8	11.1	2.4	-	0.8	-	-	3.2	0.8	77
Poi	-	-	3.7	2.2	-	0.7	-	-	-	-	0.7	0.7	91.9
Ver	-	-	2.9	-	0.7	-	9.4	-	20.3	15.9	-	-	50.7
Pap	-	-	-	7.3	-	1.3	-	13.3	1.3	-	-	-	76.7
Por	2.0	-	0.7	-	-	-	0.7	-	45.3	4.7	-	-	46.7
Fig	-	-	-	-	-	-	18.7	-	6.7	42.0	0.7	-	32
Voi	4.1	-	-	-	2.0	-	-	-	-	2.0	34.0	-	57.8
Fle	-	-	-	2.1	-	0.7	-	1.4	-	-	0.7	24.8	70.2



Comparaison

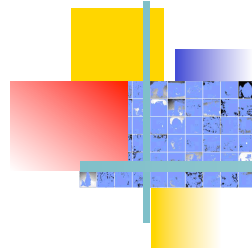
	Av	Pl	Ut	Mi	Ch	Po	Ve	Pa	Por	Fi	Vo	Fl
Avi	67%	2%	-	-	2%	2%	10%	10%	4%	2%	-	-
Pla	-	21%	-	2%	7%	19%	10%	12%	5%	-	19%	5%
Uta	17%	-	33%	-	7%	-	-	3%	10%	10%	13%	7%
Min	-	-	-	100%	-	-	-	-	-	-	-	-
Chi	26%	5%	7%	-	14%	9%	12%	9%	5%	2%	12%	-
Poi	5%	13%	3%	8%	-	13%	18%	21%	-	3%	10%	8%
Ver	2%	2%	-	-	10%	7%	43%	-	21%	5%	7%	2%
Pap	6%	6%	-	-	2%	14%	14%	35%	6%	-	12%	4%
Por	2%	2%	-	-	-	2%	-	12%	70%	10%	-	2%
Fig	-	-	-	-	-	-	6%	-	24%	70%	-	-
Voi	21%	6%	-	-	4%	4%	8%	4%	4%	29%	19%	-
Fle	2%	9%	-	-	-	9%	21%	14%	-	-	16%	28%

	Av	Pl	Ut	Mi	Ch	Po	Ve	Pa	Por	Fi	Vo	Fl	Rj
Avi	50.7	-	3.3	-	-	-	-	-	-	-	1.3	-	44.7
Pla	-	-	-	6.3	0.8	-	-	-	-	-	-	1.6	91.3
Uta	1.1	-	23.3	-	3.3	1.1	-	-	2.2	-	-	-	68.9
Min	0.8	-	0.8	28.8	-	2.3	-	0.8	-	-	-	3.0	63.6
Chi	-	-	4.0	0.8	11.1	2.4	-	0.8	-	-	3.2	0.8	77
Poi	-	-	3.7	2.2	-	0.7	-	-	-	-	0.7	0.7	91.9
Ver	-	-	2.9	-	0.7	-	9.4	-	20.3	15.9	-	-	50.7
Pap	-	-	-	7.3	-	1.3	-	13.3	1.3	-	-	-	76.7
Por	2.0	-	0.7	-	-	-	0.7	-	45.3	4.7	-	-	46.7
Fig	-	-	-	-	-	-	18.7	-	6.7	42.0	0.7	-	32
Voi	4.1	-	-	-	2.0	-	-	-	2.0	34.0	-	-	57.8
Fle	-	-	-	2.1	-	0.7	-	1.4	-	-	0.7	24.8	70.2



Performances

- Results
 - Best results for $\epsilon = 2$ or 5 %
 - Similar for : *min, connexe, ligne*
 - Quite superior to RN or SVM (+ Gabor)
- Can be improved upon ...
 - With a adaptive matching

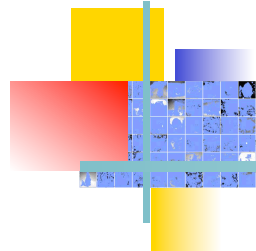


Results for the digits

- 1000 FIS ; 10 ppv

	0	1	2	3	4	5	6	7	8	9
0	90	1	2	.	.	6	1	.	.	.
1	.	93	6	.	.	1
2	.	2	88	.	.	4	.	6	.	.
3	.	3	11	72	.	2	1	12	.	.
4	1	8	.	.	88	2	.	.	1	.
5	.	1	2	2	.	96
6	4	4	5	.	.	1	86	.	.	.
7	.	6	.	.	.	5	1	88	.	.
8	.	21	13	9	.	21	1	13	20	1
9	2	3	4	21	4	10	1	11	.	44

trace 7.6548

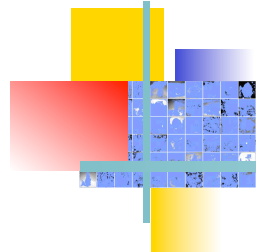


Results for the digits

- 10 ppv in the input space

	0	1	2	3	4	5	6	7	8	9
0	100
1	.	100
2	.	2	97	1	.	.
3	.	1	.	97	.	.	.	2	1	.
4	.	3	.	.	97
5	1	98	1	.	.	1
6	1	99	.	.	.
7	98	1	2
8	.	14	1	2	.	.	.	1	80	2
9	.	.	.	3	.	2	.	.	2	94

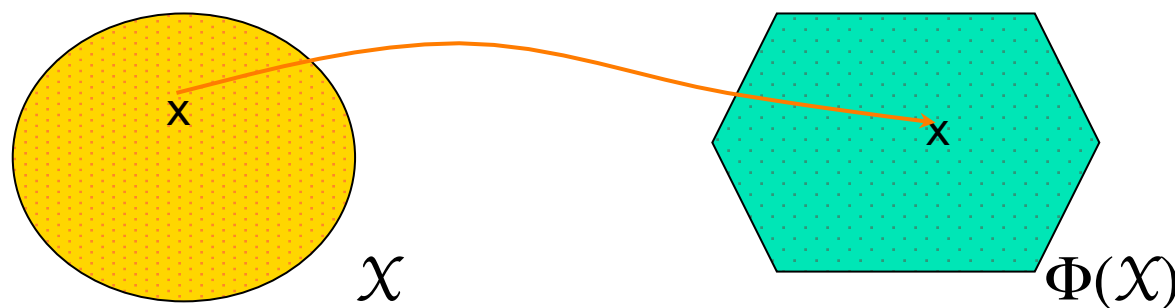
$$= 9.5993$$



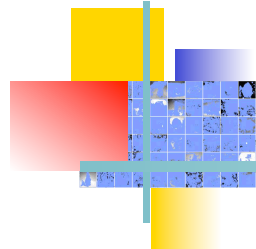
Analysis

- Properties of this coding scheme ?

- Unsupervised coding !!
- And a k -NN classification method



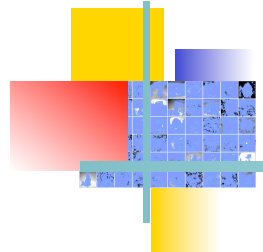
Properties ?



Approches classiques

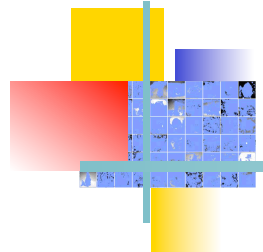
... et moins classiques

	Réduction	Orthogonalité	Indép. des données	Approximation
<i>Analyse fonctionnelle</i>	+/-	✓	✓	✓
<i>PCA</i>	✓	✓		✓
<i>Apprent. artificiel</i>	✓			✓
<i>ICA</i>				✓



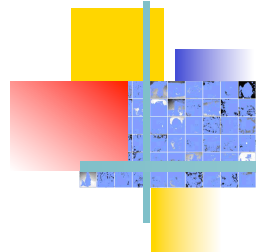
Le codage par motifs fréquents

- Ne permet pas la reconstruction des entrées
- Les motifs sont orthogonaux : mais par rapport aux exemples d' apprentissage !!
- Espace C_{100}^{10}
- Tous les points d' apprentissage sont orthogonaux dans cet espace



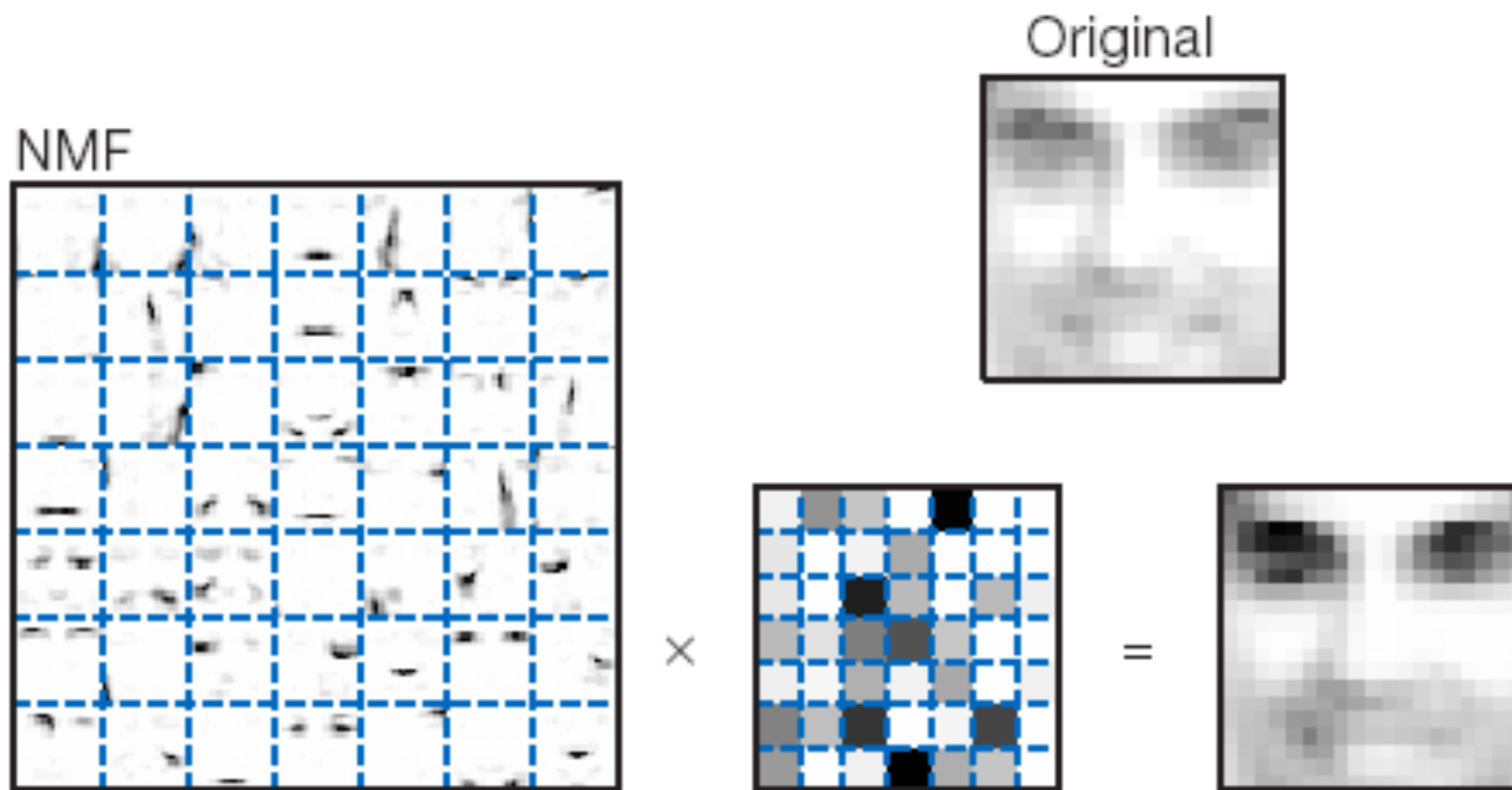
Conclusion

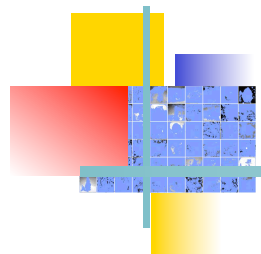
- **Analyse théorique en cours**
 - Ne rentre pas dans le cadre des théories de l'approximation
- **Expérimentations**
 - sur les *scènes naturelles* (poursuite du travail)
 - Contraindre la formation des FIS suivant les **règles de la Gestalt Theory**
Proximité / continuité / co-linéarité / co-circularité / régularité / clôture / ...
 - Utiliser une **étape de prétraitement**
 - Comparaison avec la **NMF** (Non Negative Matrix Factorization)



Non Negative Matrix Factorization

[Lee & Seung, Nature, 1999]



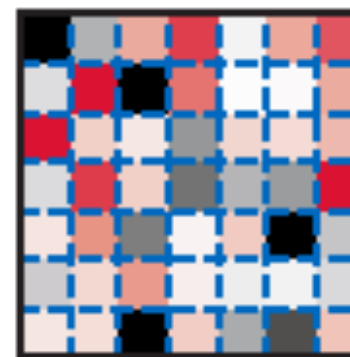


ACP

PCA

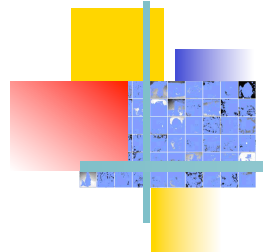


\times



=

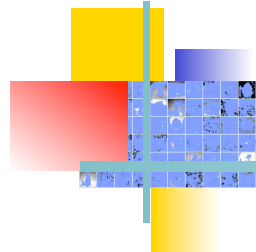




Conclusion

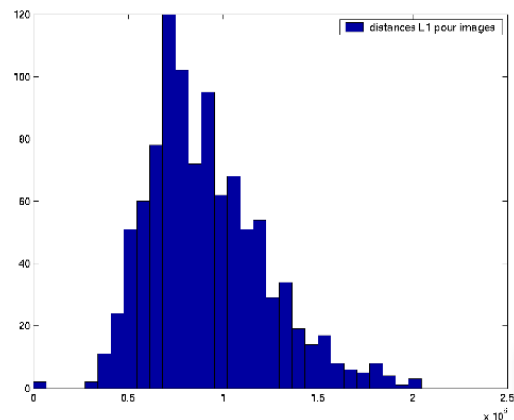
- sur les *puces ADN*
 - Problème : très peu d'exemples
- sur la *classification de textes* de NewsGroups
 - Donne de bons résultats

⇒ *Peut-être un nouveau type de traitement du signal*

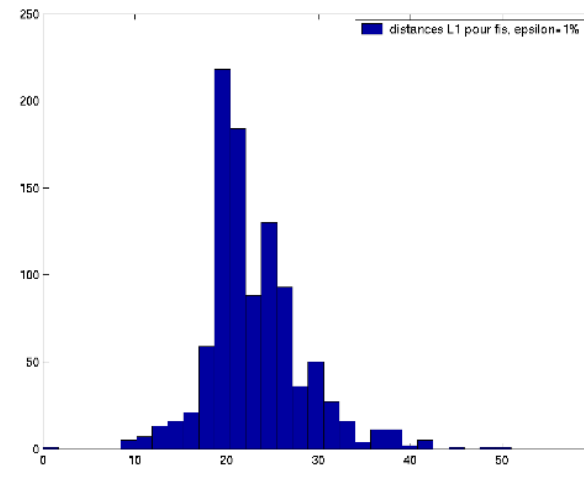


Analyse théorique

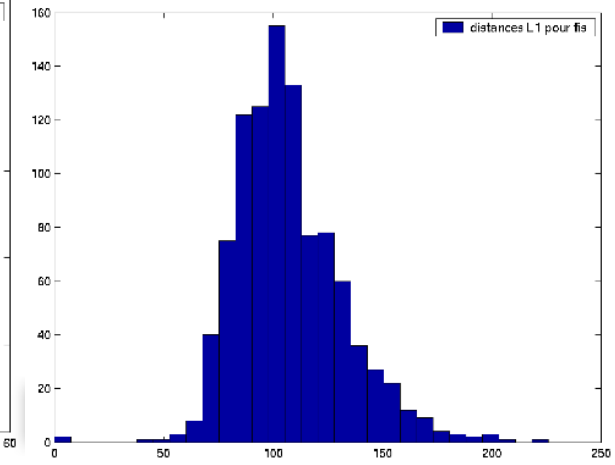
Histogrammes des distances entre images



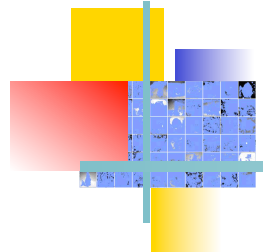
Espace des pixels



Espace des FIS_1%

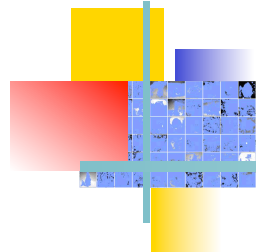


Espace des FIS_5%



Bibliographie

- Huang J. & Mumford D. : *The statistics of natural images*.
- Olshausen B. & Field D. (1996) : *Natural image statistics and efficient coding*. Network.



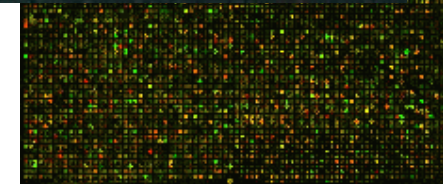
Données en grandes dimensions

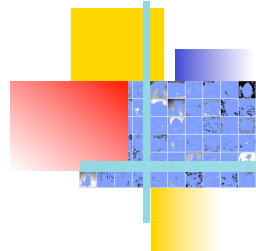
- Définies par un très grand nombre d'attributs

(Note : l'un des 10 pbs soulevés lors
mathématiques en 2000)

- Exemples :

- Puces ADN
 - E.g. 6400 gènes,
 - ➔ organismes sains ou irradiés
- Images
 - E.g. 256*256*(256 niveaux de gris)
 - ➔ Formes présentes dans l'image

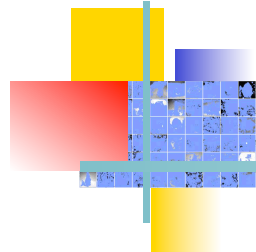




L'objectif

→ *Identifier des régularités dans des données de très grandes dimensions*

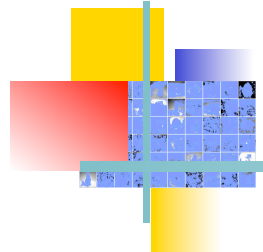
- Apprentissage supervisé multi-classes
- Beaucoup de dimensions + peu d' exemples
 - = Difficulté pour distinguer vraies régularités et coïncidences



Prétraitements

■ Réduction de dimension

- Sélection d' attributs
 - Élimination des redondances (*ACP*, ...)
 - Recherche de corrélations (attribut-classe)
- Modélisation : hypothèses sur la statistique du signal
 - Analyse de *Fourrier*
 - Analyse en *ondelettes*



Cas de l'analyse de scènes

- Scènes naturelles \neq scènes artificielles
- Observations neurobiologiques : **codage clairsemé**
- Hypothèse : signal résultant d'une **superposition de « formes latentes »**
 - ➡ *Analyse en composantes indépendantes* (ACI)